plarnovatic

serie **NEO•H**

680t - 2700t **Sistema de dos platos**Eficiencia y precisión





plarnovatic

NEO · H

Sistema de dos platos de alto rendimiento

La serie NEO·H le ofrece una diseño elegante y minimalista. Cada línea, detalle o pieza ha sido diseñada para optimizar su rendimiento y ofrecerle una máquina eficiente y precisa. Equipada con una amplía gama de patentes tecnológicas para una conseguir una producción óptima.

Fuerza de cierre: 680t - 2700t

Estabilidad, Precisión, Eficiencia energética, Flexibilidad

Para los sectores más exigentes:









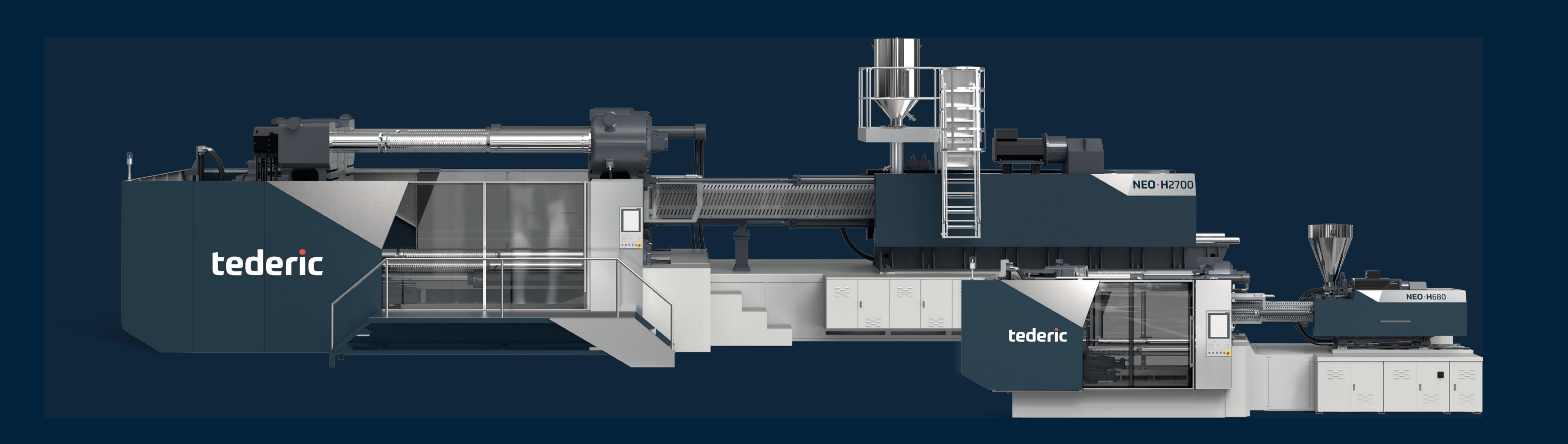




Construcción Electrodomésticos

Automóvil

Mobiliario

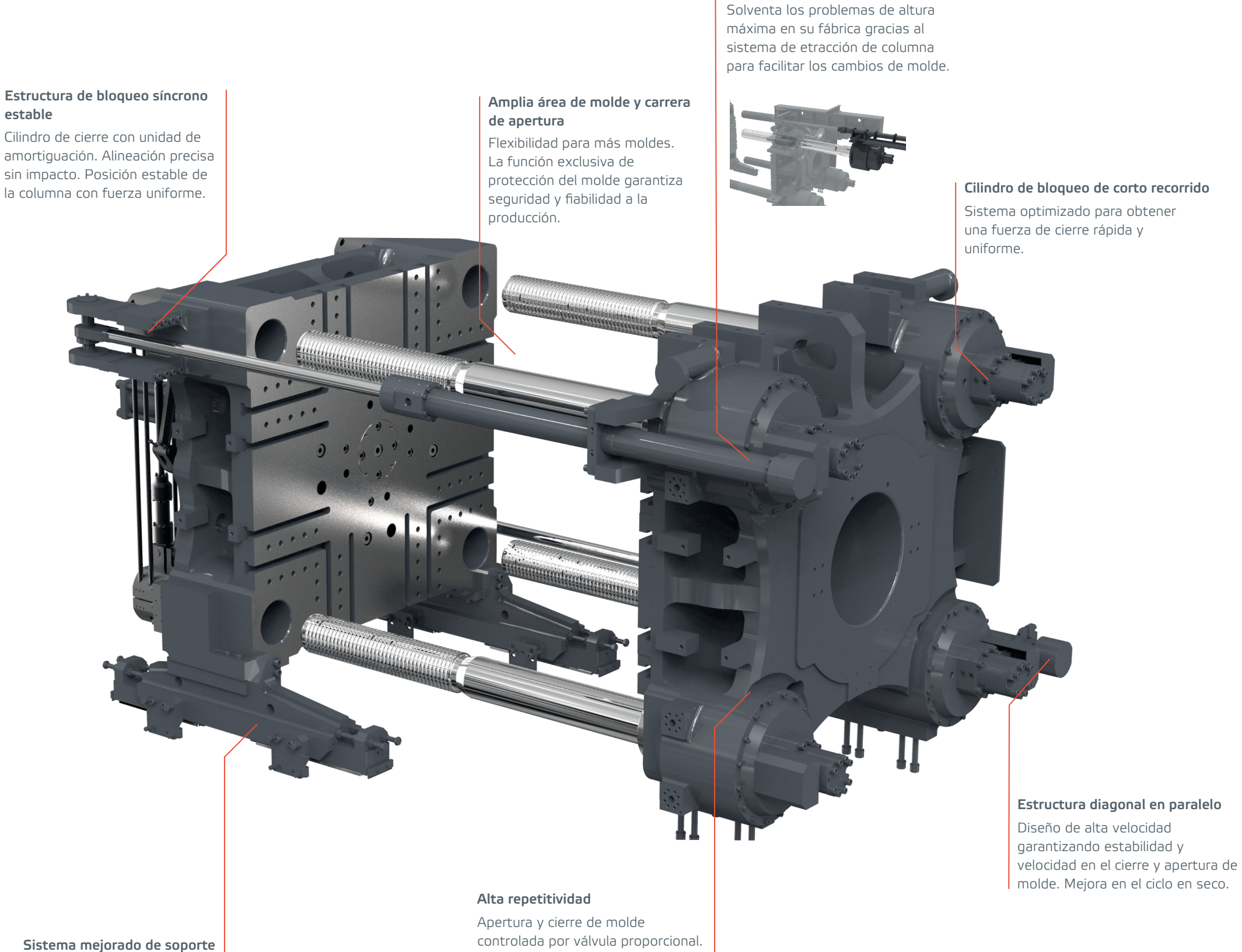


plarnovatic

NEO·HUnidad de cierre

Ventajas técnicas

- Amplia aréa de molde, la carrera de cierre puede ser ampliada
- Precisión de repetición de la posición de apertura ≤1 mm
- Diseño modular del cilindro de apertura del molde
- Aumento del 15% en el peso máximo de molde
- Carga excéntrica en la columna ≤4%



Pullsure™ (Opcional)

del plato móvil

Aumento de un 15% el peso máximo de molde permitido.

Apertura y cierre de molde controlada por válvula proporcional. Mejora la posición de apertura, la precisión y la repetitividad con un margen de ±0.5mm.

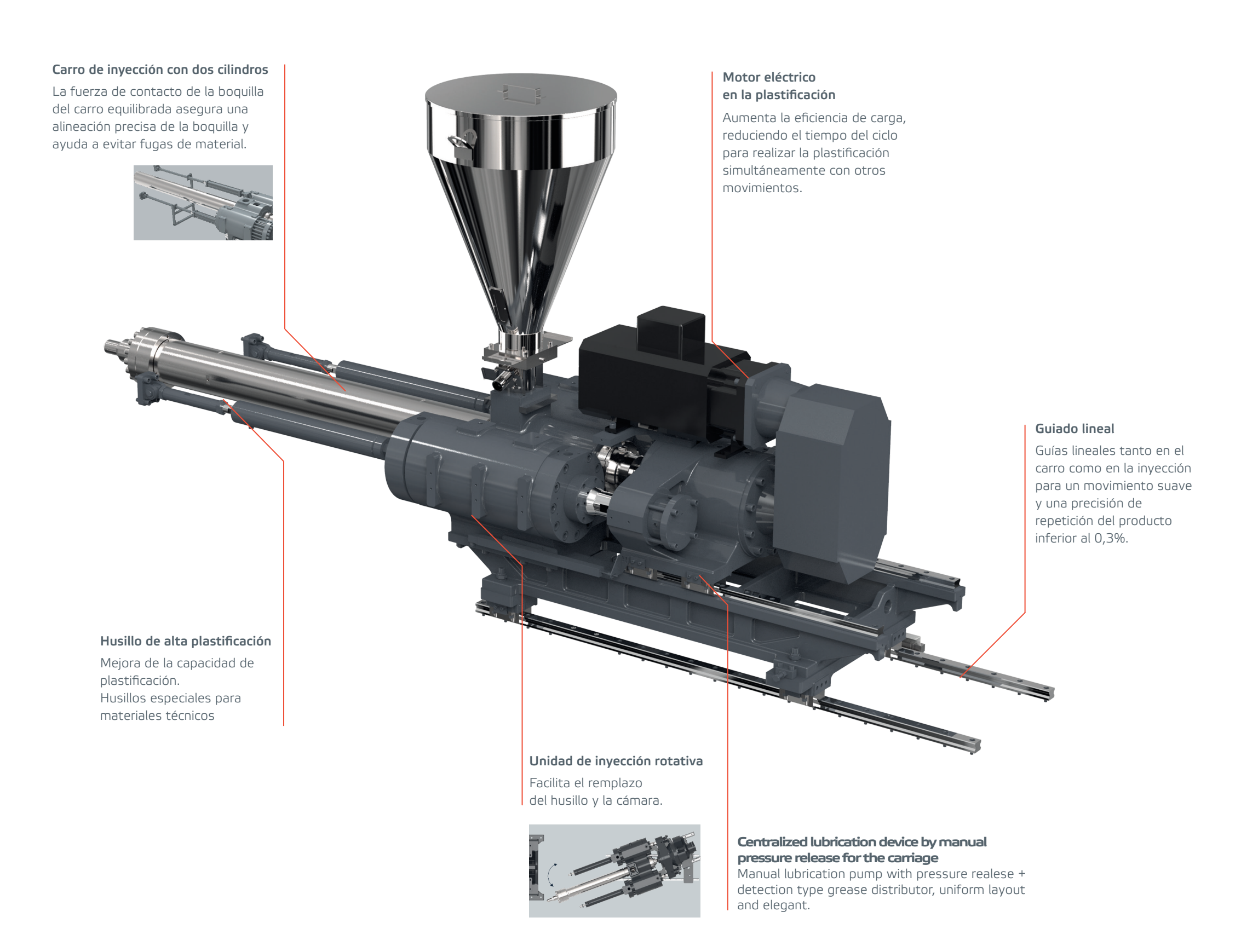
4 • NEO·H



NEO·HUnidad de inyección

Ventajas técnicas

- Diseño modular
- Inyección repetitiva con una alta precisión menor al 0.3%
- Control de temperatura del husillo ≤±1°C





NEO·HElectricidad & Hidráulica

Ventajas técnicas

- Control táctil KEBA de 15 pulgadas de altas prestaciones.
 Software abierto para ajustarse a los requerimientos de cada cliente.
- Apertura/Cierre de molde y plastificación simultánea para acortar los tiempos de ciclo.
- Aumento de la potencia de los motores para un mayor rendimiento.
- Funciones customizadas para una mayor flexibilidad.
- Sistema de control remoto y de producción (Opcional)

Control preciso en la apertura/cierre de molde

Sistema de control combinado con válvula direccional proporcional para obtener el mejor tiempo posible de apertura/cierre de molde y garantizar estabilidad al proceso.

Control KEBA de altas prestaciones

Controles táctiles de 15 pulgadas optimizados para producción óptima y amigable. Opción de conexión remota para asistencia o mantenimiento.



Motor y bomba aumentados

Mejora en los tiempos de ciclo y aumento del rendimiento.



Componentes de primeras marcas

Gabinete eléctrico modular resistente al agua y al polvo con componentes de primeras marcas. Diseño optimizado para un fácil mantenimiento.
Diseño independiente entre baja y alta tensión



plarnovatic

| Unidad de cierre | Un. | | NEO- | H680 | | | |
|---------------------------------|------|--------|-------------|--------|--------|--|--|
| Fuerza de cierre | kN | | 6800 | | | | |
| Carrera de cierre | mm | | 90 | 00 | | | |
| Espacio entre columnas | mm | | 1100 | ×960 | | | |
| Altura máxima de molde | mm | | 95 | 50 | | | |
| Altura mínima de molde | mm | | 45 | 50 | | | |
| Carrera del expulsor | mm | | 30 | 00 | | | |
| Fuerza del expulsor | kN | | 18 | 32 | | | |
| Número de expulsores | # | | 1 | 1 | | | |
| Apertura máxima | mm | | 18 | 50 | | | |
| Dimensión mínima de molde | mm | | 770> | ¢672 | | | |
| Dimensiones de los platos (HxV) | mm | | 1500> | <1400 | | | |
| | | | <i>i</i> 48 | 100 | | | |
| Unidad de inyección | Un. | А | В | С | D | | |
| Diámetro del husillo | mm | 80 | 85 | 90 | 100 | | |
| Proporción L/D del husillo | L/D | 23.4 | 22.0 | 20.8 | 18.7 | | |
| Volumen de disparo (teórico) | cm³ | 2241.8 | 2530.8 | 2837.3 | 3502.9 | | |
| Capacidad de inyección (PS) | g | 2040.1 | 2303.1 | 2582.0 | 3187.6 | | |
| Presión de inyección | MPa | 204.4 | 181.1 | 161.5 | 130.8 | | |
| Tasa de inyección en el aire | g/s | 548 | 618 | 693 | 856 | | |
| Velocidad del husillo | rpm | | 20 | 00 | | | |
| Velocidad máxima de inyección | mm/s | | 12 | 20 | | | |
| Carrera de inyección | mm | | 44 | 16 | | | |
| Otros | Un. | | <i>i</i> 48 | 00 | | | |
| Presión máxima de la bomba | MPa | | 17 | 7.5 | | | |
| Potencia del motor | kW | | 51+ | +40 | | | |
| Potencia de la calefacción | kW | | 40.8 | / 50.6 | | | |
| Capacidad de la tolva | kg | | 10 | 00 | | | |
| Capacidad del tanque de aceite | L | | 75 | 50 | | | |
| Peso total de la máquina | t | | 2 | 5 | | | |

7.9X2.6X2.5

Observaciones:

Dimensiones (LxWxH)

El peso de inyección (PS) es el valor teórico derivado del volumen de inyección y la densidad de fusión típica del poliestireno. La velocidad del husillo es la velocidad máxima teórica del husillo.

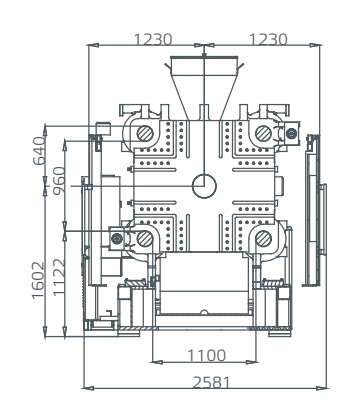
Infórmenos si tiene algún requisito de material de ingeniería como PVC, PMMA o algún requisito especial.

Debido a las mejoras continuas, nos reservamos el derecho de modificar cualquier aspecto de la especificación sin previo aviso.

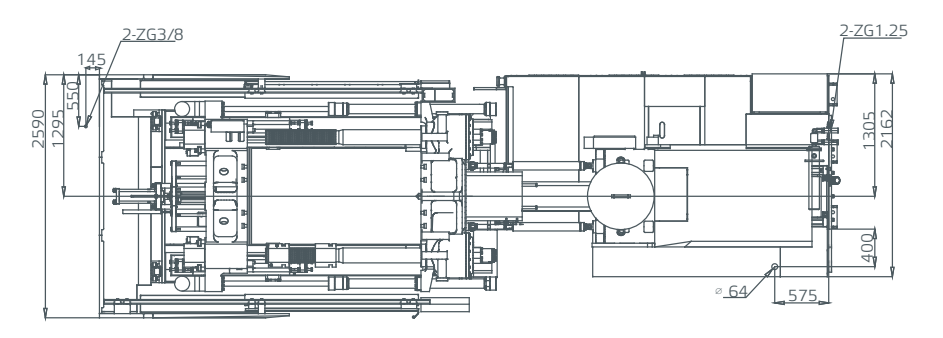
Vista frontal

1850 1850 666 3670 7889

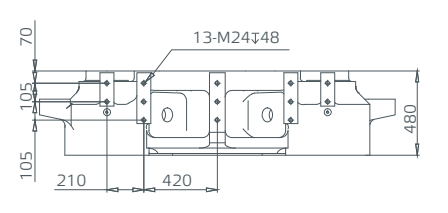
Dimensiones para la instalación del robot



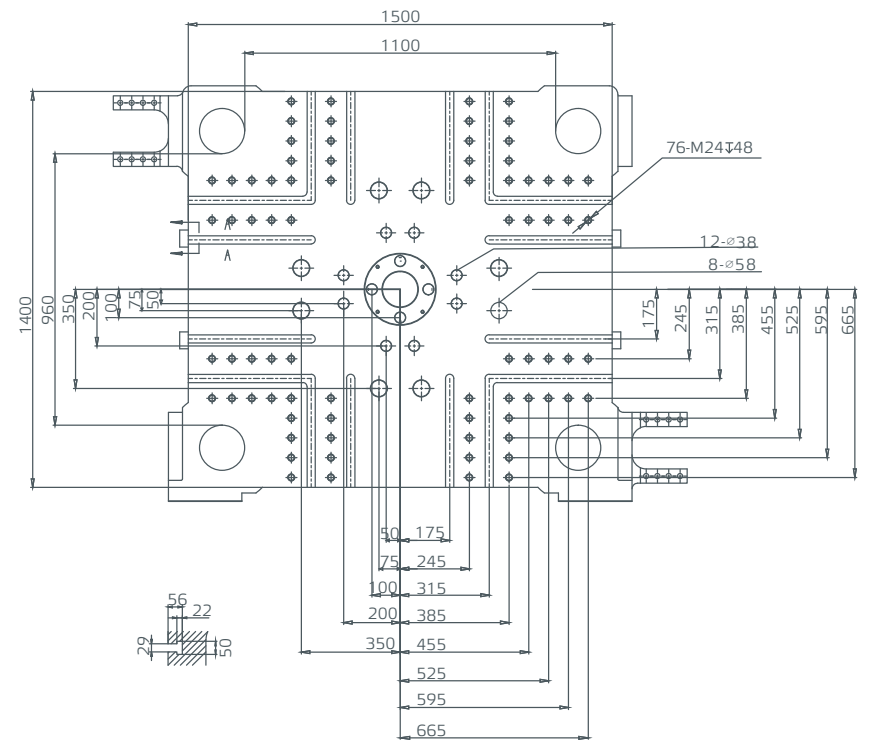
Vista superior



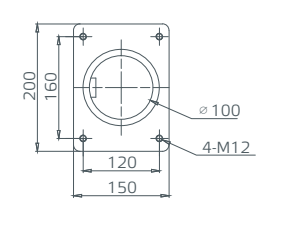
Vista superior del plato fijo para el robot



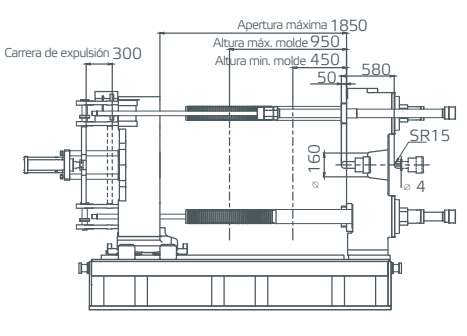
Dimensiones del plato móvil



Dimensiones de la entrada de material



Unidad de cierre



Unidades: mm

10⋅ NEO⋅H Especificaciones ⋅ 11

NEO-H

Especificaciones

plarnovatic

| Unidad de cierre | Un. | NEO·H850 |
|---------------------------------|-----|-----------|
| Fuerza de cierre | kN | 8500 |
| Carrera de cierre | mm | 1000 |
| Espacio entre columnas | mm | 1080×1080 |
| Altura máxima de molde | mm | 1100 |
| Altura mínima de molde | mm | 500 |
| Carrera del expulsor | mm | 350 |
| Fuerza del expulsor | kN | 260 |
| Número de expulsores | # | 11 |
| Apertura máxima | mm | 2100 |
| Dimensión mínima de molde | mm | 756x756 |
| Dimensiones de los platos (HxV) | mm | 1580×1580 |

| Dimensiones de los platos (HXV) | mm | 1580×1580 | | | | | | | |
|---------------------------------|------|---------------|-------------|--------|---------------|---------------|--------|--------|--------|
| Haidad da iayassida | l la | <i>i</i> 5800 | | | <i>i</i> 7500 | | | | |
| Unidad de inyección | Un. | А | В | С | D | А | В | С | D |
| Diámetro del husillo | mm | 85 | 90 | 100 | 110 | 90 | 100 | 110 | 120 |
| Proporción L/D del husillo | L/D | 23.3 | 22.0 | 19.8 | 18.0 | 24.4 | 22.0 | 20.0 | 18.3 |
| Volumen de disparo (teórico) | cm³ | 2684.0 | 3009.1 | 3714.9 | 4495.1 | 3276.3 | 4044.8 | 4894.2 | 5824.5 |
| Capacidad de inyección (PS) | g | 2442.5 | 2738.3 | 3380.6 | 4090.5 | 2981.4 | 3680.8 | 4453.7 | 5300.3 |
| Presión de inyección | MPa | 202.9 | 180.9 | 146.6 | 121.1 | 222.4 | 180.2 | 148.9 | 125.1 |
| Tasa de inyección en el aire | g/s | 626 | 702 | 867 | 1049 | 707 | 873 | 1057 | 1258 |
| Velocidad del husillo | rpm | | 10 | 50 | | 125 | | | |
| Velocidad máxima de inyección | mm/s | | 1. | 21 | | 122 | | | |
| Carrera de inyección | mm | | 4 | 73 | | 515 | | | |
| Otros | Un. | | i 58 | 300 | | <i>i</i> 7500 | | | |
| Presión máxima de la bomba | MPa | | 17 | 7.5 | | 17.5 | | | |
| Potencia del motor | kW | | 61 | +40 | | 40x2+40 | | | |
| Potencia de la calefacción | kW | | 44 | 1.3 | | 58.7 | | | |
| Capacidad de la tolva | kg | | 10 | 00 | | | 1(| 00 | |
| Capacidad del tanque de aceite | L | | 10 | 000 | | | 10 | 00 | |
| Peso total de la máquina | t | | 3 | 37 | | | 4 | .0 | |
| Dimensiones (LxWxH) | m | | 9.0x2 | .8x2.7 | | | 9.8x2 | .8x2.7 | |
| | | | | | | | | | |

Observaciones:

El peso de inyección (PS) es el valor teórico derivado del volumen de inyección y la densidad de fusión típica del poliestireno. La velocidad del husillo es la velocidad máxima teórica del husillo.

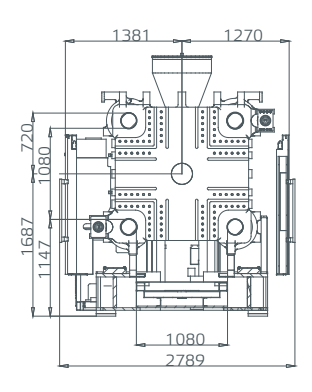
Infórmenos si tiene algún requisito de material de ingeniería como PVC, PMMA o algún requisito especial.

Debido a las mejoras continuas, nos reservamos el derecho de modificar cualquier aspecto de la especificación sin previo aviso.

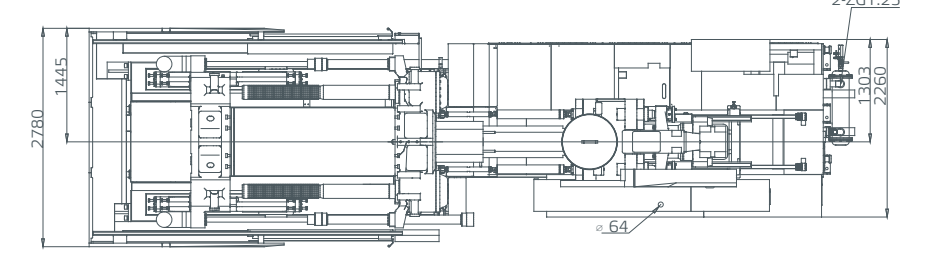
Vista frontal

530 4517 A

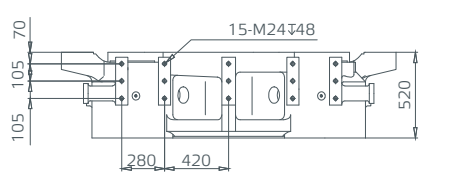
Dimensiones para la instalación del robot



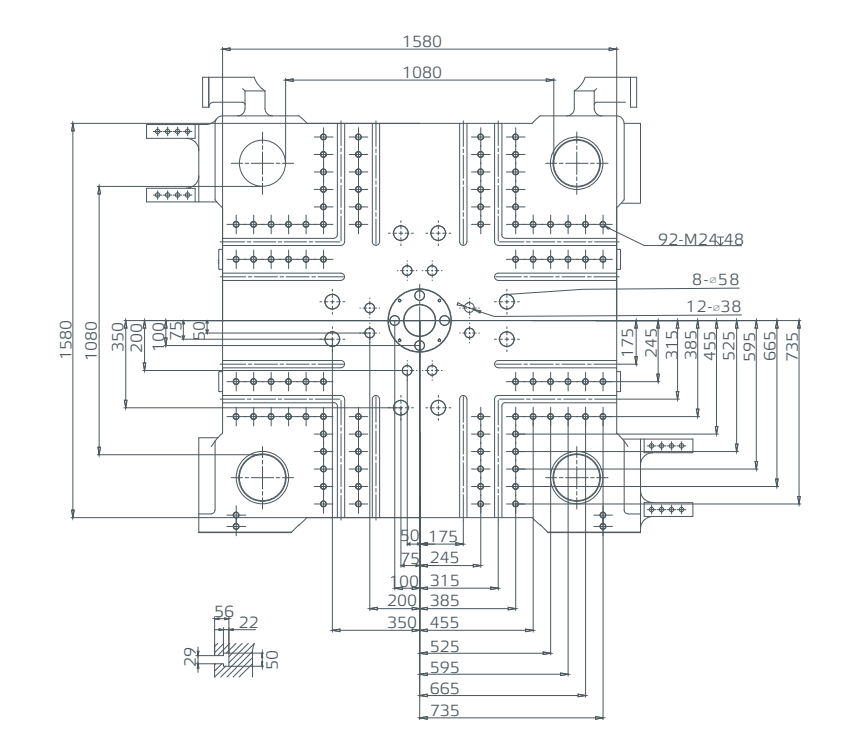
Vista superior



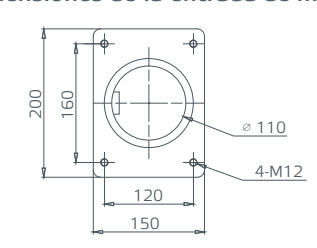
Vista superior del plato fijo para el robot



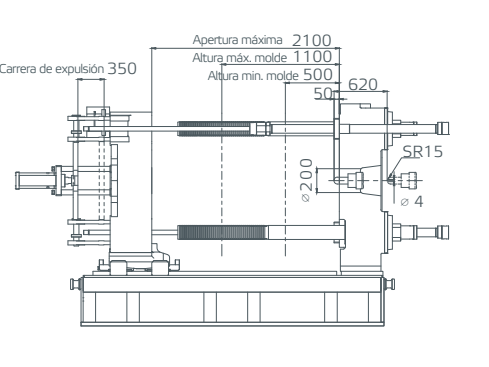
Dimensiones del plato móvil



Dimensiones de la entrada de material



Unidad de cierre



| Unidad de inyección | А | В |
|---------------------|------|------|
| <i>i</i> 5800 | 9051 | 4004 |
| <i>i</i> 7500 | 9747 | 4700 |

Unidades: mm



plarnovatic

| Unidad de cierre | Un. | | NEO- | H1200 | | | |
|-------------------------------------|-----------------|---------------|---------------|-------------|--------|--|--|
| Fuerza de cierre | kN | 12000 | | | | | |
| Carrera de cierre | mm | | 13 | 350 | | | |
| Espacio entre columnas | mm | | 1260 | ×1175 | | | |
| Altura máxima de molde | mm | | 12 | 250 | | | |
| Altura mínima de molde | mm | | 6 | 000 | | | |
| Carrera del expulsor | mm | | 3 | 50 | | | |
| Fuerza del expulsor | kN | | 2 | 60 | | | |
| Número de expulsores | # | | 1 | 13 | | | |
| Apertura máxima | mm | | 26 | 500 | | | |
| Dimensión mínima de molde | mm | | 882× | 822.5 | | | |
| Dimensiones de los platos (HxV |) mm | 1830×1730 | | | | | |
| Unidad de inyección | Un. | | <i>i</i> 9500 | | | | |
| ornodd de myeedion | 011. | А | В | С | D | | |
| Diámetro del husillo | mm | 100 | 110 | 120 | 130 | | |
| Proporción L/D del husillo | L/D | 24.2 | 22.0 | 20.2 | 18.6 | | |
| Volumen de disparo (teórico) | cm ³ | 4319.7 | 5226.8 | 6220.3 | 7300.3 | | |
| Capacidad de inyección (PS) | g | 3930.9 | 4756.4 | 5660.5 | 6643.2 | | |
| Presión de inyección | MPa | 212.8 | 175.9 | 147.8 | 125.9 | | |
| Tasa de inyección en el aire | g/s | 739 | 895 | 1065 | 1250 | | |
| Velocidad del husillo | rpm | | 1 | 25 | | | |
| Velocidad máxima de inyección | mm/s | | 1 | 04 | | | |
| Carrera de inyección | mm | 550 | | | | | |
| | | <i>i</i> 9500 | | | | | |
| Otros | Un. | | <i>i</i> 9! | 500 | | | |
| Otros Presión máxima de la bomba | Un. MPa | | | 500 7.5 | | | |

| Presión máxima de la bomba | MPa | 17.5 |
|--------------------------------|-----|--------------|
| Potencia del motor | kW | 40x2+40 |
| Potencia de la calefacción | kW | 61.9 |
| Capacidad de la tolva | kg | 100 |
| Capacidad del tanque de aceite | L | 1100 |
| Peso total de la máquina | t | 48 |
| Dimensiones (LxWxH) | m | 10.6X3.3X2.9 |
| | | |

Observaciones:

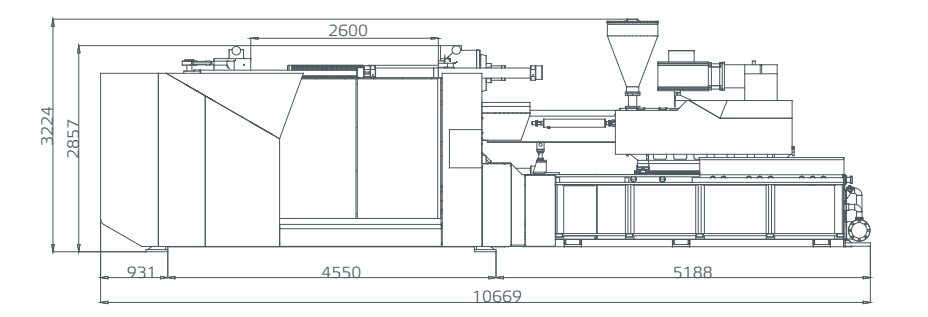
El peso de inyección (PS) es el valor teórico derivado del volumen de inyección y la densidad de fusión típica del poliestireno. La velocidad del husillo es la velocidad máxima teórica del husillo.

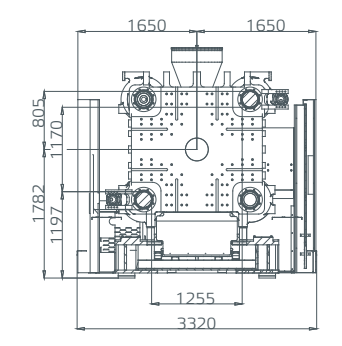
Infórmenos si tiene algún requisito de material de ingeniería como PVC, PMMA o algún requisito especial.

Debido a las mejoras continuas, nos reservamos el derecho de modificar cualquier aspecto de la especificación sin previo aviso.

Vista frontal

Dimensiones para la instalación del robot

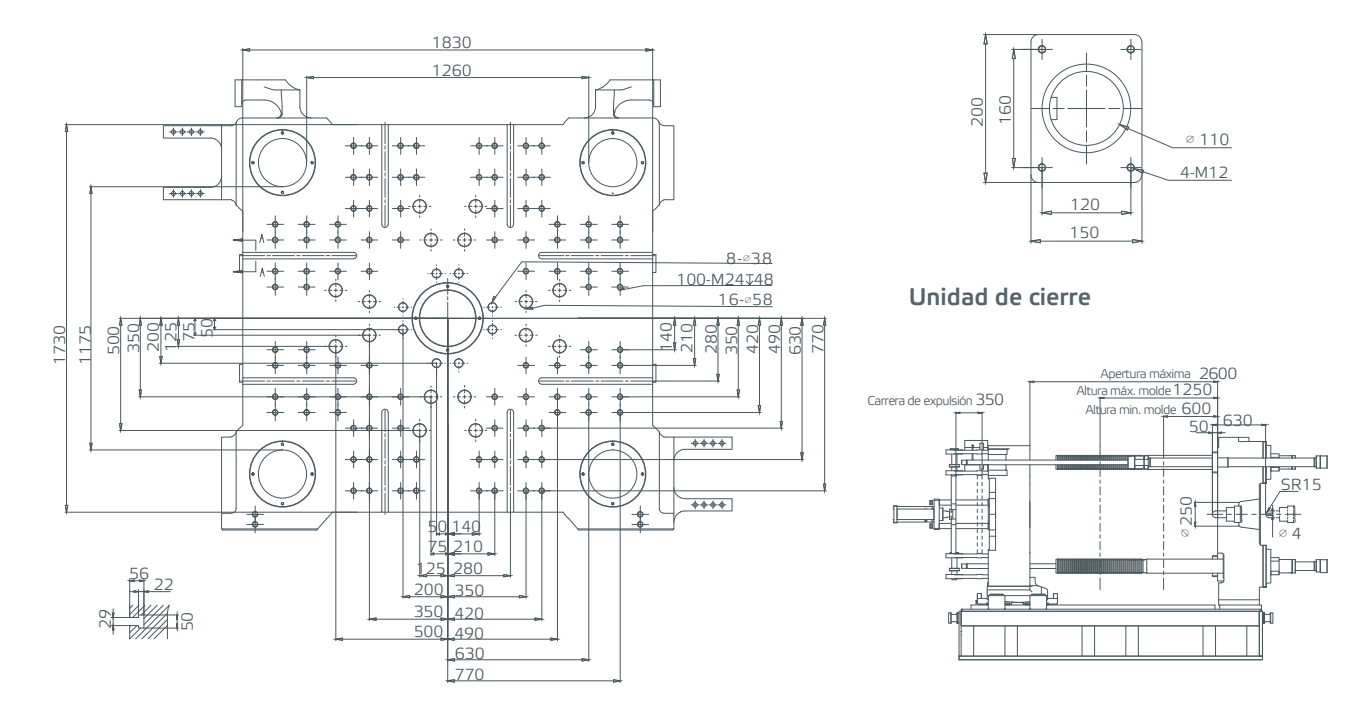




Vista superior del plato fijo para el robot

Dimensiones del plato móvil

Dimensiones de la entrada de material



Unidades: mm



plarnovatic

| Unidad de cierre | Un. | NEO·H1400 | | | |
|---------------------------------|-----|-----------|-------------|-------|-------|
| Fuerza de cierre | kN | | 14 | 000 | |
| Carrera de cierre | mm | | 15 | 550 | |
| Espacio entre columnas | mm | | 1460 | ×1360 | |
| Altura máxima de molde | mm | | 13 | 350 | |
| Altura mínima de molde | mm | | 6 | 00 | |
| Carrera del expulsor | mm | | 3 | 50 | |
| Fuerza del expulsor | kN | | 3 | 00 | |
| Número de expulsores | # | | 1 | 13 | |
| Apertura máxima | mm | | 29 | 900 | |
| Dimensión mínima de molde | mm | | 1022 | 2x952 | |
| Dimensiones de los platos (HxV) | mm | | 1980 | x1900 | |
| Haidad da invassión | Un. | | <i>i</i> 13 | 500 | |
| Unidad de inyección | UH. | А | В | С | D |
| Diámetro del husillo | mm | 120 | 130 | 140 | 150 |
| Proporción L/D del husillo | L/D | 23.8 | 22.0 | 20.4 | 19.1 |
| Volumen de disparo (teórico) | cm³ | 6775 | 7951 | 9221 | 10585 |

| Diámetro del husillo | mm | 120 | 130 | 140 | 150 | | |
|--------------------------------|------|------|-------------|---------|-------|--|--|
| Proporción L/D del husillo | L/D | 23.8 | 22.0 | 20.4 | 19.1 | | |
| Volumen de disparo (teórico) | cm³ | 6775 | 7951 | 9221 | 10585 | | |
| Capacidad de inyección (PS) | g | 6165 | 7235 | 8391 | 9633 | | |
| Presión de inyección | MPa | 201 | 171 | 148 | 129 | | |
| Tasa de inyección en el aire | g/s | 977 | 1147 | 1330 | 1527 | | |
| Velocidad del husillo | rpm | | 1 | 25 | | | |
| Velocidad máxima de inyección | mm/s | | 95 | | | | |
| Carrera de inyección | mm | | 5 | 99 | | | |
| Otros | Un. | | <i>i</i> 13 | 500 | | | |
| Presión máxima de la bomba | MPa | | 1 | 7.5 | | | |
| Potencia del motor | kW | | 51x | 2+61 | | | |
| Potencia de la calefacción | kW | | 8 | 9.6 | | | |
| Capacidad de la tolva | kg | | 2 | 00 | | | |
| Capacidad del tanque de aceite | L | | 14 | 100 | | | |
| Peso total de la máquina | t | | | 53 | | | |
| Dimensiones (LxWxH) | m | | 11.7x | 4.0x3.2 | | | |

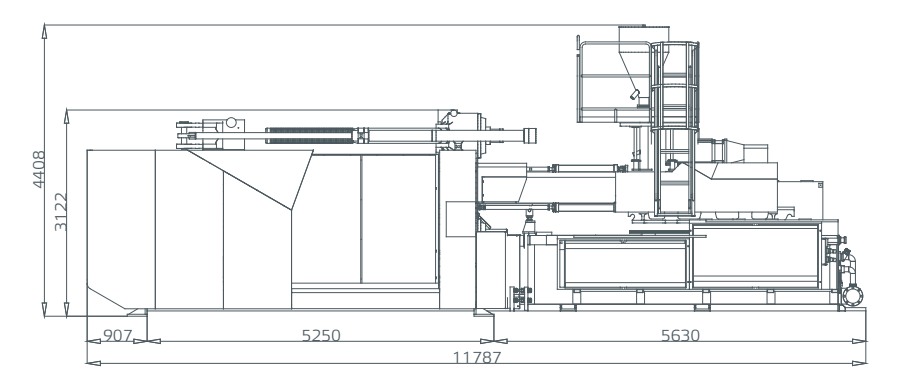
Observaciones:

El peso de inyección (PS) es el valor teórico derivado del volumen de inyección y la densidad de fusión típica del poliestireno. La velocidad del husillo es la velocidad máxima teórica del husillo.

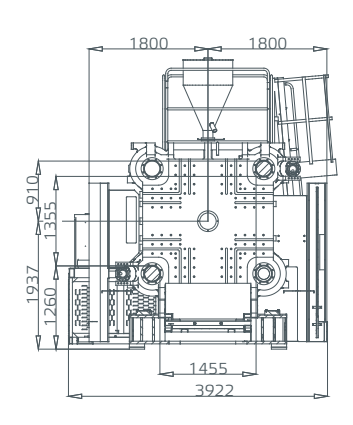
Infórmenos si tiene algún requisito de material de ingeniería como PVC, PMMA o algún requisito especial.

Debido a las mejoras continuas, nos reservamos el derecho de modificar cualquier aspecto de la especificación sin previo aviso.

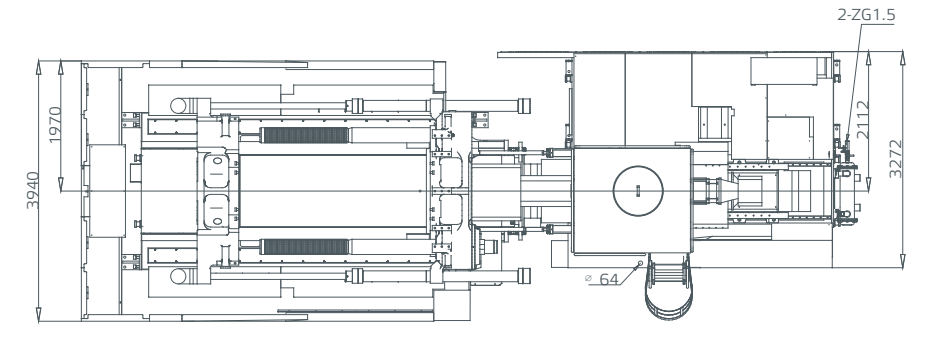
Vista frontal



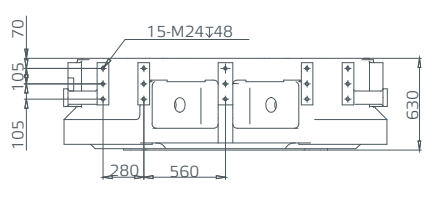
Dimensiones para la instalación del robot



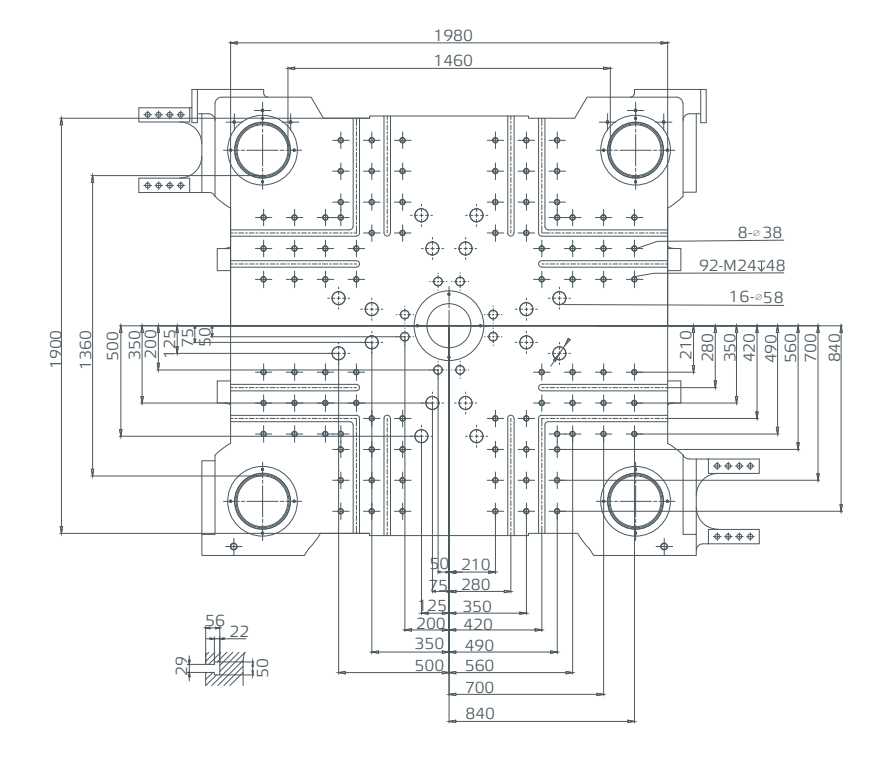
Vista superior



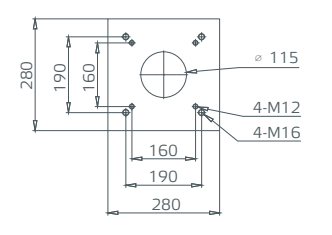
Vista superior del plato fijo para el robot



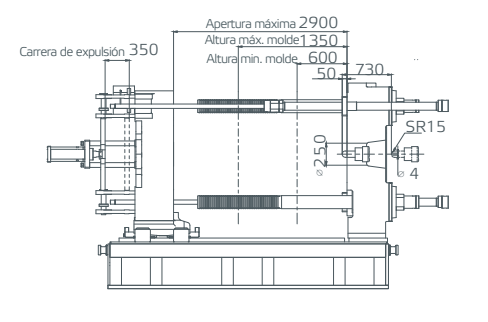
Dimensiones del plato móvil



Dimensiones de la entrada de material



Unidad de cierre



Unidades: mm



plarnovatic

| Unidad de cierre | Un. | | NEO. | H1700 | | | |
|---------------------------------|-----|------|-------|-------|-------|--|--|
| Fuerza de cierre | kN | | 17 | 000 | | | |
| Carrera de cierre | mm | | 10 | 550 | | | |
| Espacio entre columnas | mm | | 1570 | ×1470 | | | |
| Altura máxima de molde | mm | | 10 | 500 | | | |
| Altura mínima de molde | mm | | 6 | 50 | | | |
| Carrera del expulsor | mm | | 4 | .00 | | | |
| Fuerza del expulsor | kN | | 4 | 30 | | | |
| Número de expulsores | # | | 13 | | | | |
| Apertura máxima | mm | 3250 | | | | | |
| Dimensión mínima de molde | mm | | 1099 | ×1029 | | | |
| Dimensiones de los platos (HxV) | mm | | 2290 | ×2190 | | | |
| Unidad de inyección | Un. | | i17 | 7800 | | | |
| Official de lifyección | OH. | А | В | С | D | | |
| Diámetro del husillo | mm | 130 | 140 | 150 | 160 | | |
| Proporción L/D del husillo | L/D | | | | 19.3 | | |
| Volumen de disparo (teórico) | cm³ | 9145 | 10606 | 12176 | 13853 | | |
| Capacidad de inyección (PS) | g | 8322 | 9652 | 11080 | 12606 | | |
| Presión de inyección | MPa | 213 | 184 | 160 | 141 | | |
| Tasa de inyección en el aire | g/s | 1065 | 1235 | 1418 | 1613 | | |
| Velocidad del husillo | rpm | | 1 | 00 | | | |
| | | | | | | | |

| Volumen de disparo (teórico) | cm³ | 9145 | 10606 | 12176 | 13853 | |
|--|-----------------|----------------|----------------------|--------------------|-------|--|
| Capacidad de inyección (PS) | g | 8322 | 9652 | 11080 | 12606 | |
| Presión de inyección | MPa | 213 | 184 | 160 | 141 | |
| Tasa de inyección en el aire | g/s | 1065 | 1235 | 1418 | 1613 | |
| Velocidad del husillo | rpm | | 1 | 00 | | |
| Velocidad máxima de inyección | mm/s | | 8 | 88 | | |
| Carrera de inyección | mm | 689 | | | | |
| Otros | Un. | <i>i</i> 17800 | | | | |
| Ot103 | UII. | | 1 17 | 000 | | |
| Presión máxima de la bomba | MPa | | | 7.5 | | |
| | | | 17 | | | |
| Presión máxima de la bomba | MPa | | 1. 61x. | 7.5 | | |
| Presión máxima de la bomba Potencia del motor | MPa kW | | 17 61x 10 | 7.5 2+61 | | |
| Presión máxima de la bomba Potencia del motor Potencia de la calefacción | MPa kW kW | | 13 61x 10 2 | 7.5 2+61 4.4 | | |

13.3x4.0x3.3

Observaciones:

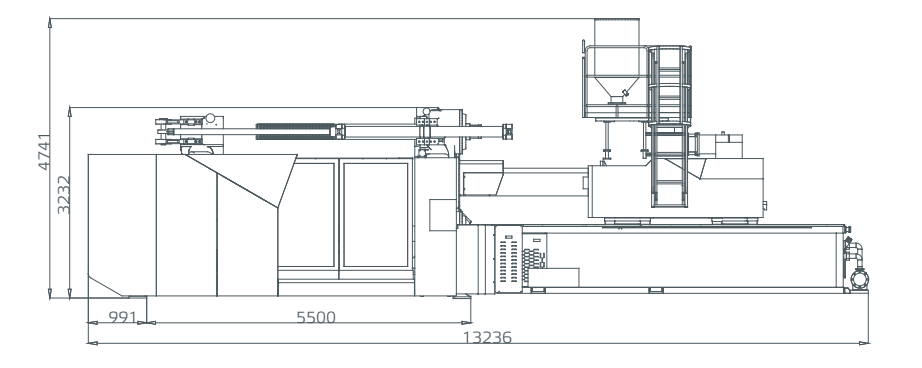
Dimensiones (LxWxH)

El peso de inyección (PS) es el valor teórico derivado del volumen de inyección y la densidad de fusión típica del poliestireno. La velocidad del husillo es la velocidad máxima teórica del husillo.

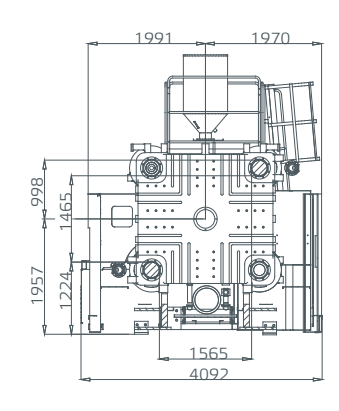
Infórmenos si tiene algún requisito de material de ingeniería como PVC, PMMA o algún requisito especial.

Debido a las mejoras continuas, nos reservamos el derecho de modificar cualquier aspecto de la especificación sin previo aviso.

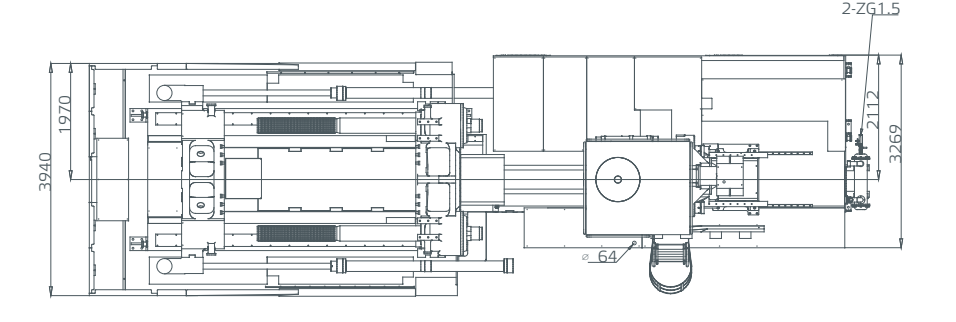
Vistat frientalf machine dimension



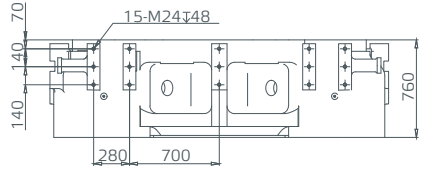
Dimensiones para la instalación del robot



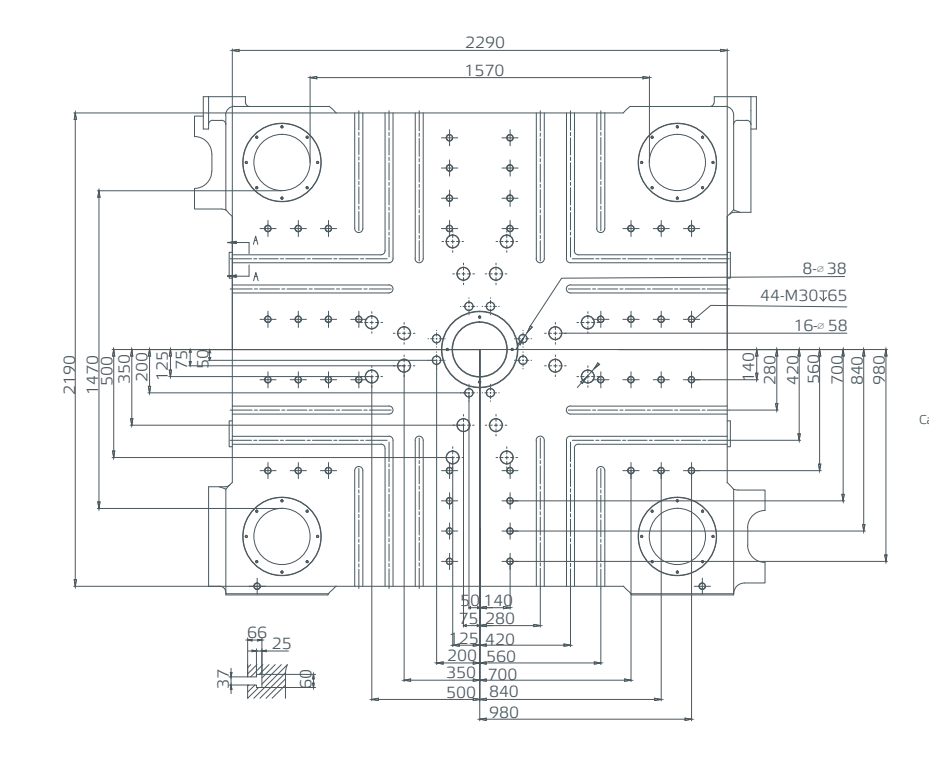
Vista superior



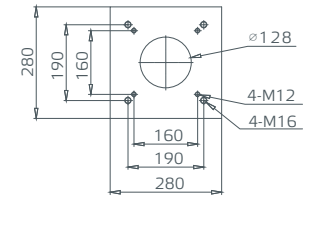
Vista superior del plato fijo para el robot



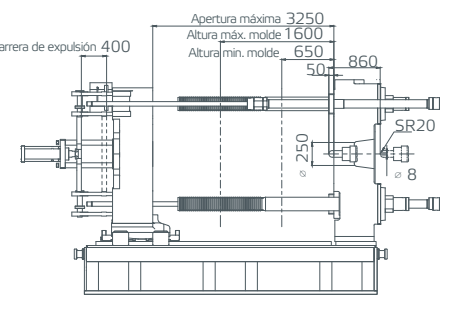
Dimensiones del plato móvil



Dimensiones de la entrada de material



Unidad de cierre



Unidades: mm



plarnovatic

| Unidad de cierre | Un. | | NEO-I | H1900 | | | |
|---------------------------------|------|----------------|-----------|-------|-------|--|--|
| Fuerza de cierre | kN | | 19 | 000 | | | |
| Carrera de cierre | mm | | 17 | 750 | | | |
| Espacio entre columnas | mm | | 1850 | ×1500 | | | |
| Altura máxima de molde | mm | | 17 | 00 | | | |
| Altura mínima de molde | mm | | 7 | 00 | | | |
| Carrera del expulsor | mm | | 4 | 00 | | | |
| Fuerza del expulsor | kN | | 4: | 30 | | | |
| Número de expulsores | # | | 1 | 3 | | | |
| Apertura máxima | mm | | 34 | 50 | | | |
| Dimensión mínima de molde | mm | | 1295×1050 | | | | |
| Dimensiones de los platos (HxV) | mm | 2500×2110 | | | | | |
| | 1.1 | <i>i</i> 17800 | | | | | |
| Unidad de inyección | Un. | A | В | С | D | | |
| Diámetro del husillo | mm | 130 | 140 | 150 | 160 | | |
| Proporción L/D del husillo | L/D | 23.7 | 22.0 | 20.5 | 19.3 | | |
| Volumen de disparo (teórico) | cm³ | 9145 | 10606 | 12176 | 13853 | | |
| Capacidad de inyección (PS) | g | 8322 | 9652 | 11080 | 12606 | | |
| Presión de inyección | MPa | 213 | 184 | 160 | 141 | | |
| Tasa de inyección en el aire | g/s | 1065 | 1235 | 1418 | 1613 | | |
| Velocidad del husillo | rpm | | 1 | 00 | | | |
| Velocidad máxima de inyección | mm/s | | 8 | 8 | | | |
| C d- :: | | | | 20 | | | |

| Capacidad de inyección (PS) | g | 8322 | 9652 | 11080 | 12606 | | |
|--------------------------------|------|------|-------------|---------|-------|--|--|
| Presión de inyección | MPa | 213 | 184 | 160 | 141 | | |
| Tasa de inyección en el aire | g/s | 1065 | 1235 | 1418 | 1613 | | |
| Velocidad del husillo | rpm | | 1 | 00 | | | |
| Velocidad máxima de inyección | mm/s | | 3 | 38 | | | |
| Carrera de inyección | mm | | 6 | 89 | | | |
| Otros | Un. | | i 17 | '800 | | | |
| Presión máxima de la bomba | MPa | | 1 | 7.5 | | | |
| Potencia del motor | kW | | 61x | 2+61 | | | |
| Potencia de la calefacción | kW | | 10 |)4.4 | | | |
| Capacidad de la tolva | kg | | 200 | | | | |
| Capacidad del tanque de aceite | L | 1800 | | | | | |
| Peso total de la máquina | t | 94 | | | | | |
| Dimensiones (LxWxH) | m | | 13.3x | 4.2x3.4 | | | |

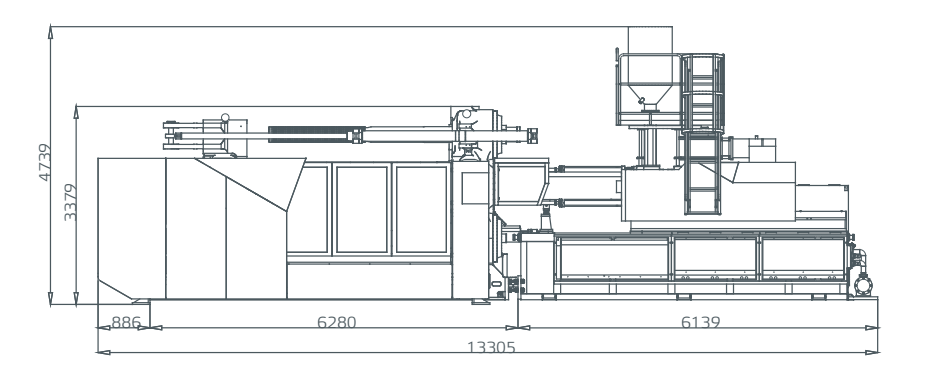
Observaciones:

El peso de inyección (PS) es el valor teórico derivado del volumen de inyección y la densidad de fusión típica del poliestireno. La velocidad del husillo es la velocidad máxima teórica del husillo.

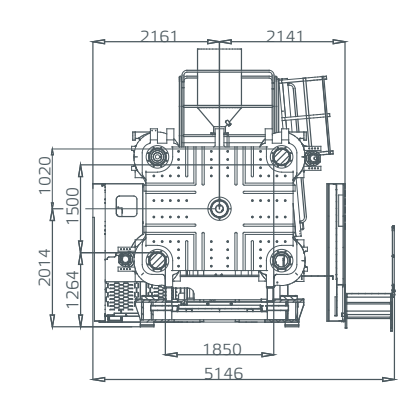
Infórmenos si tiene algún requisito de material de ingeniería como PVC, PMMA o algún requisito especial.

Debido a las mejoras continuas, nos reservamos el derecho de modificar cualquier aspecto de la especificación sin previo aviso.

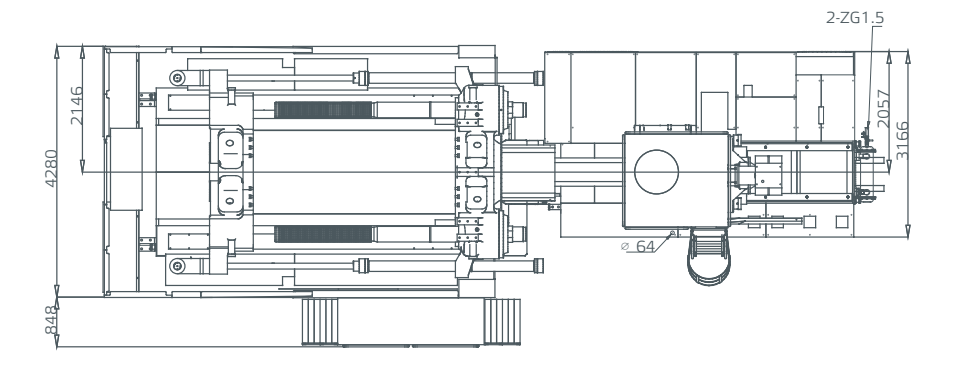
Vista frontal



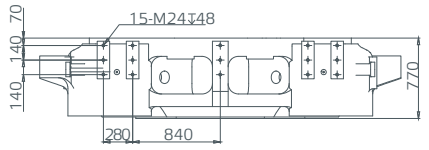
Dimensiones para la instalación del robot



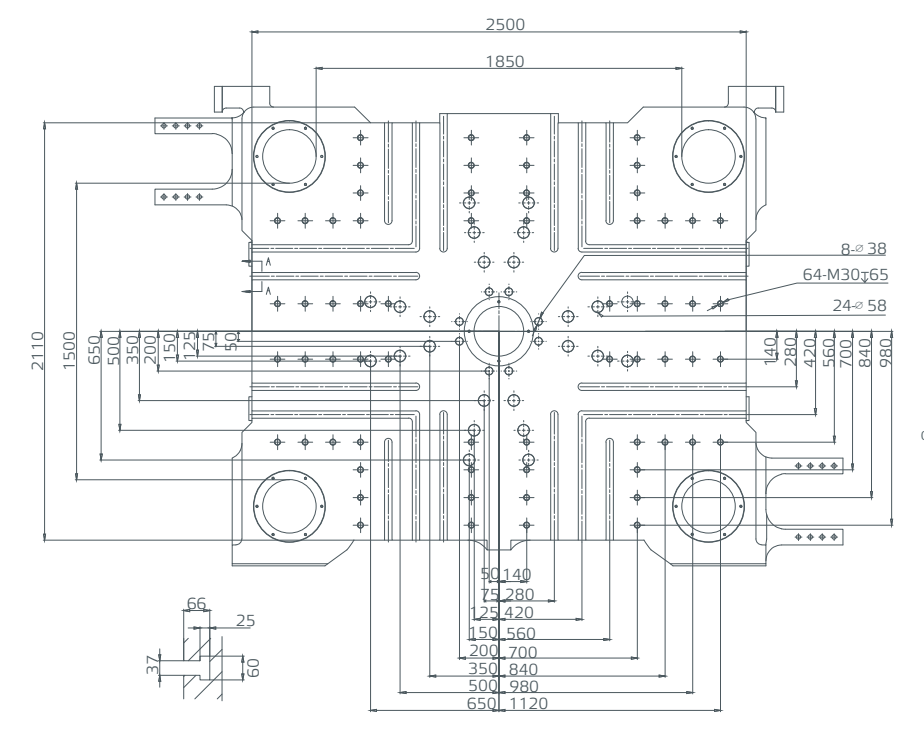
Vista superior



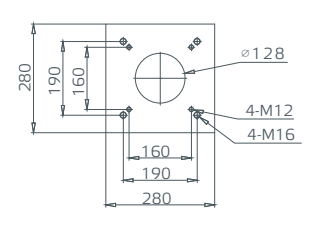
Vista superior del plato fijo para el robot



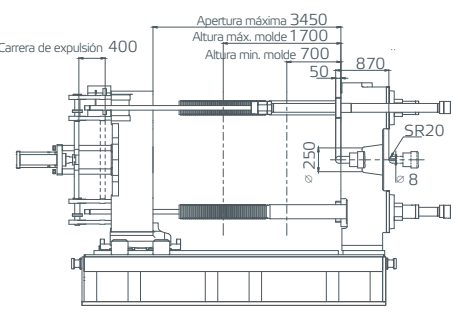
Dimensiones del plato móvil



Dimensiones de la entrada de material



Unidad de cierre



Unidades: mm

NEO-H

Especificaciones

plarnovatic

| Unidad de cierre | Un. | | NEO·H2100 | | | | | | | | | | |
|----------------------------|------|---------|-----------|--------|---------|--------------|-------|---------|--------------|-------|-------|-------|-------|
| Fuerza de cierre | kN | | 21000 | | | | | | | | | | |
| Carrera de cierre | mm | | | | | | 18 | 00 | | | | | |
| Espacio entre columnas | mm | | | | | | 1820 | <1600 | | | | | |
| Altura máxima de molde | mm | | | | | | 17 | 00 | | | | | |
| Altura mínima de molde | mm | | | | | | 70 | 00 | | | | | |
| Carrera del expulsor | mm | | | | | | 40 | 00 | | | | | |
| Fuerza del expulsor | kN | | | | | | 43 | 30 | | | | | |
| Número de expulsores | # | | | | | | 1 | 9 | | | | | |
| Apertura máxima | mm | | | | | | 35 | 00 | | | | | |
| Dimensión mín. de molde | mm | | | | | | 1274 | <1120 | | | | | |
| Dimensiones de los platos | mm | | 2540×2340 | | | | | | | | | | |
| 11.11.1.1.1.1 | | i 19700 | | | i 24000 | | | i 41000 | | | | | |
| Unidad de inyección | Un. | А | В | С | D | А | В | С | D | А | В | С | D |
| Diámetro del husillo | mm | 140 | 150 | 160 | 170 | 150 | 160 | 170 | 180 | 170 | 180 | 190 | 200 |
| Proporción L/D del husillo | L/D | 23.6 | 22.0 | 20.6 | 19.4 | 23.5 | 22.0 | 20.7 | 19.6 | 23.3 | 22.0 | 20.8 | 19.8 |
| Volumen de disparo | cm³ | 10576 | 12140 | 13806 | 15586 | 13943 | 15864 | 17909 | 20078 | 26806 | 30053 | 33485 | 37102 |
| Capacidad de inyección(PS) | g | 9624 | 11048 | 12563 | 14183 | 12688 | 14436 | 16297 | 18271 | 24394 | 21337 | 30471 | 33763 |
| Presión de inyección | MPa | 204 | 178 | 156 | 139 | 190 | 167 | 148 | 132 | 183 | 163 | 146 | 132 |
| Tasa de inyección en aire | g/s | 1284 | 1474 | 1677 | 1893 | 1383 | 1573 | 1776 | 1991 | 1684 | 1888 | 2104 | 2331 |
| Velocidad del husillo | rpm | | 10 | 00 | | 100 | | | 80 | | | | |
| Velocidad máx. inyección | mm/s | | 9 | 2 | | 86 | | | 82 | | | | |
| Carrera de inyección | mm | | 68 | 37 | | 789 | | | 1181 | | | | |
| Otros | Un. | | i 19 | 700 | | i 24000 | | | i 41000 | | | | |
| Presión máx. de la bomba | MPa | | 17 | .5 | | 17.5 | | | 17.5 | | | | |
| Potencia del motor | kW | 51x3+61 | | | 51x3+61 | | | 61x3+61 | | | | | |
| Potencia de la calefacción | kW | 121.0 | | | | 146.4 | | | 158.2 | | | | |
| Capacidad de la tolva | kg | 200 | | | | 200 | | | 400 | | | | |
| Tanque de aceite | L | | 20 | 00 | | | 20 | 00 | | 2400 | | | |
| Peso total de la máquina | t | | 11 | 3 | | | 11 | 14 | | 123 | | | |
| Dimensiones (LxWxH) | m | | 13.5X4 | .3X3.5 | | 15.0X4.3X3.5 | | | 16.1x4.3x3.5 | | | | |

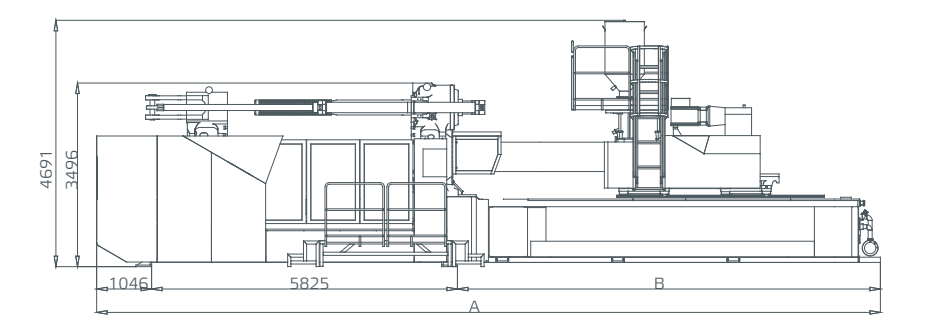
Observaciones:

El peso de inyección (PS) es el valor teórico derivado del volumen de inyección y la densidad de fusión típica del poliestireno. La velocidad del husillo es la velocidad máxima teórica del husillo.

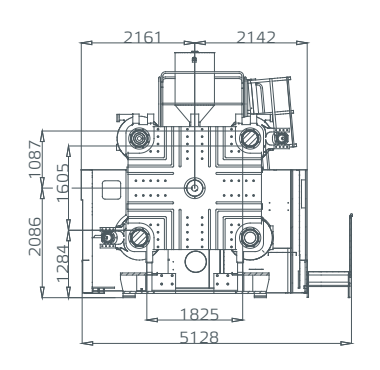
Infórmenos si tiene algún requisito de material de ingeniería como PVC, PMMA o algún requisito especial.

Debido a las mejoras continuas, nos reservamos el derecho de modificar cualquier aspecto de la especificación sin previo aviso.

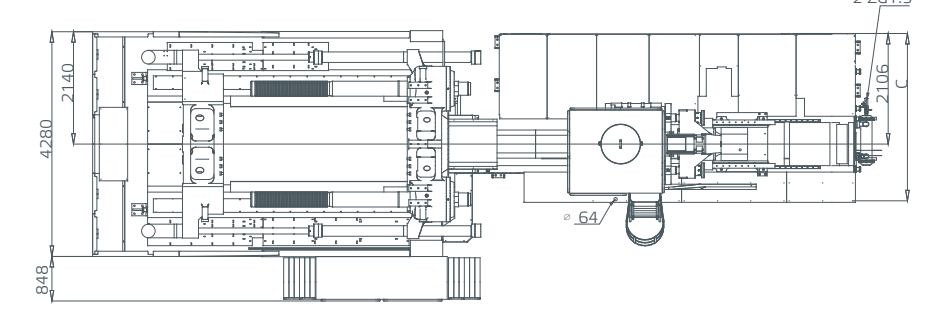
Vista frontal



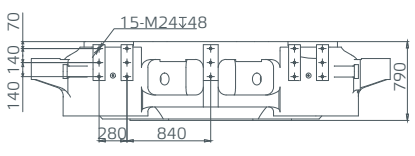
Dimensiones para la instalación del robot



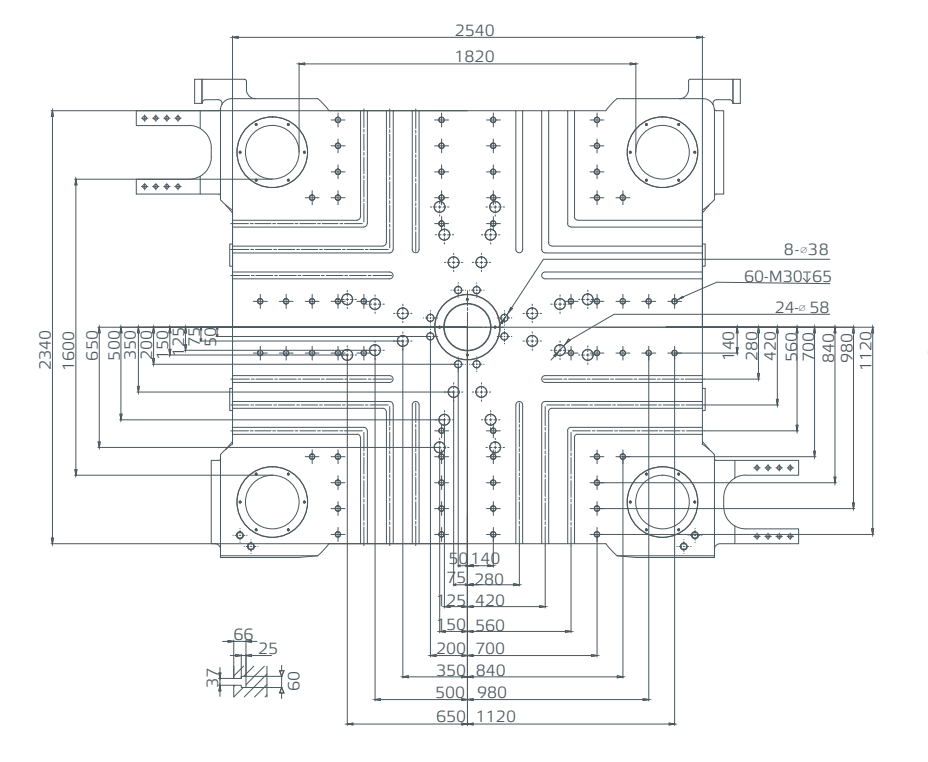
Vista superior



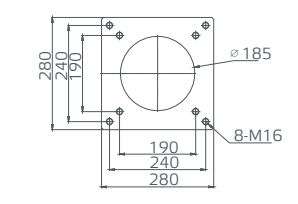
Vista superior del plato fijo para el robot



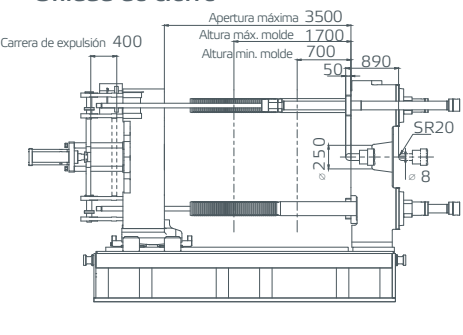
Dimensiones del plato móvil



Dimensiones de la entrada de material



Unidad de cierre



| Unidad de inyección | A | В | С |
|---------------------|-------|------|------|
| <i>i</i> 19700 | 13426 | 6555 | 3187 |
| <i>i</i> 24000 | 14926 | 8055 | 3216 |
| <i>i</i> 41000 | 16031 | 9160 | 3187 |

Unidades: mm

NEO-H

Especificaciones

plarnovatic

| Unidad de cierre | Un. | NEO·H2700 |
|---------------------------------|-----|-----------|
| Fuerza de cierre | kN | 27000 |
| Carrera de cierre | mm | 2000 |
| Espacio entre columnas | mm | 2000×1700 |
| Altura máxima de molde | mm | 1900 |
| Altura mínima de molde | mm | 800 |
| Carrera del expulsor | mm | 500 |
| Fuerza del expulsor | kN | 560 |
| Número de expulsores | # | 21 |
| Apertura máxima | mm | 3900 |
| Dimensión mínima de molde | mm | 1400×1190 |
| Dimensiones de los platos (HxV) | mm | 2700×2470 |

| Dimensiones de los platos (HxV) | mm | 2700×2470 | | | | | | | |
|---------------------------------|-------|----------------|--------|---------|----------------|----------------|-------|-------|-------|
| Unidad de inyección | l lin | <i>i</i> 41000 | | | | <i>i</i> 54000 | | | |
| Official de Invection | Un. | А | В | С | D | А | В | С | D |
| Diámetro del husillo | mm | 170 | 180 | 190 | 200 | 190 | 200 | 210 | 220 |
| Proporción L/D del husillo | L/D | 23.3 | 22.0 | 20.8 | 19.8 | 23.2 | 22.0 | 21.0 | 20.0 |
| Volumen de disparo (teórico) | cm³ | 22698 | 25447 | 28353 | 31416 | 32577 | 36097 | 39797 | 43677 |
| Capacidad de inyección (PS) | g | 20655 | 23157 | 25801 | 28588 | 29645 | 32848 | 36215 | 39746 |
| Presión de inyección | MPa | 183 | 163 | 146 | 132 | 183 | 165 | 150 | 136 |
| Tasa de inyección en el aire | g/s | 1684 | 1888 | 2104 | 2331 | 2125 | 2354 | 2596 | 2849 |
| Velocidad del husillo | rpm | 80 | | | 63 | | | | |
| Velocidad máxima de inyección | mm/s | 82 | | | 82 | | | | |
| Carrera de inyección | mm | 1000 | | | 1149 | | | | |
| Otros | Un. | i 41000 | | | <i>i</i> 54000 | | | | |
| Presión máxima de la bomba | MPa | 17.5 | | | 17.5 | | | | |
| Potencia del motor | kW | | 61x3 | 3+61 | | 61x3+51+80 | | | |
| Potencia de la calefacción | kW | | 15 | 8.2 | | 196.7 | | | |
| Capacidad de la tolva | kg | 400 | | | 400 | | | | |
| Capacidad del tanque de aceite | L | 2400 | | | 3750 | | | | |
| Peso total de la máquina | t | | 14 | 18 | | 160 | | | |
| Dimensiones (LxWxH) | m | | 16.8x4 | l.7x3.9 | | 17.5x4.7x3.9 | | | |

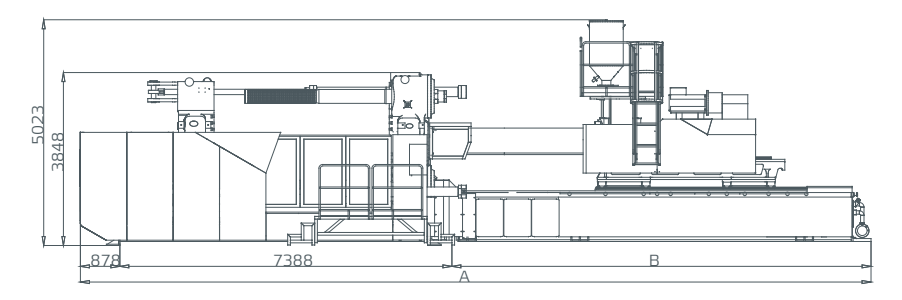
Observaciones:

El peso de inyección (PS) es el valor teórico derivado del volumen de inyección y la densidad de fusión típica del poliestireno. La velocidad del husillo es la velocidad máxima teórica del husillo.

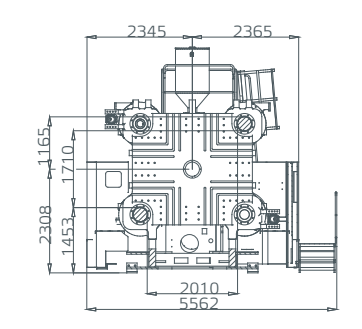
Infórmenos si tiene algún requisito de material de ingeniería como PVC, PMMA o algún requisito especial.

Debido a las mejoras continuas, nos reservamos el derecho de modificar cualquier aspecto de la especificación sin previo aviso.

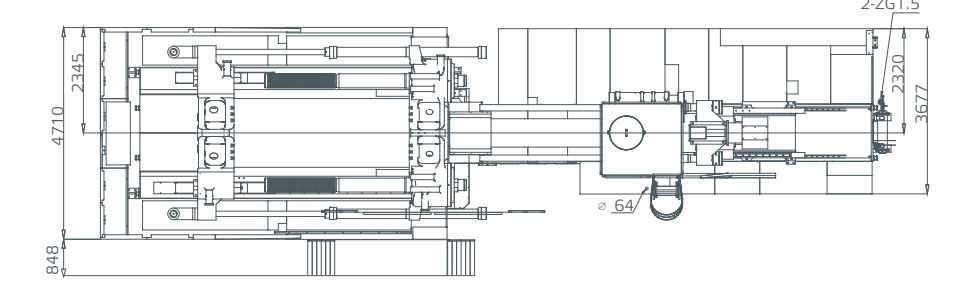
Vista frontal



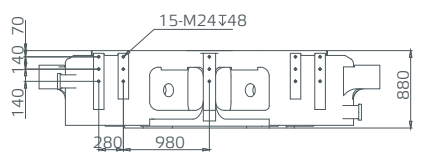
Dimensiones para la instalación del robot



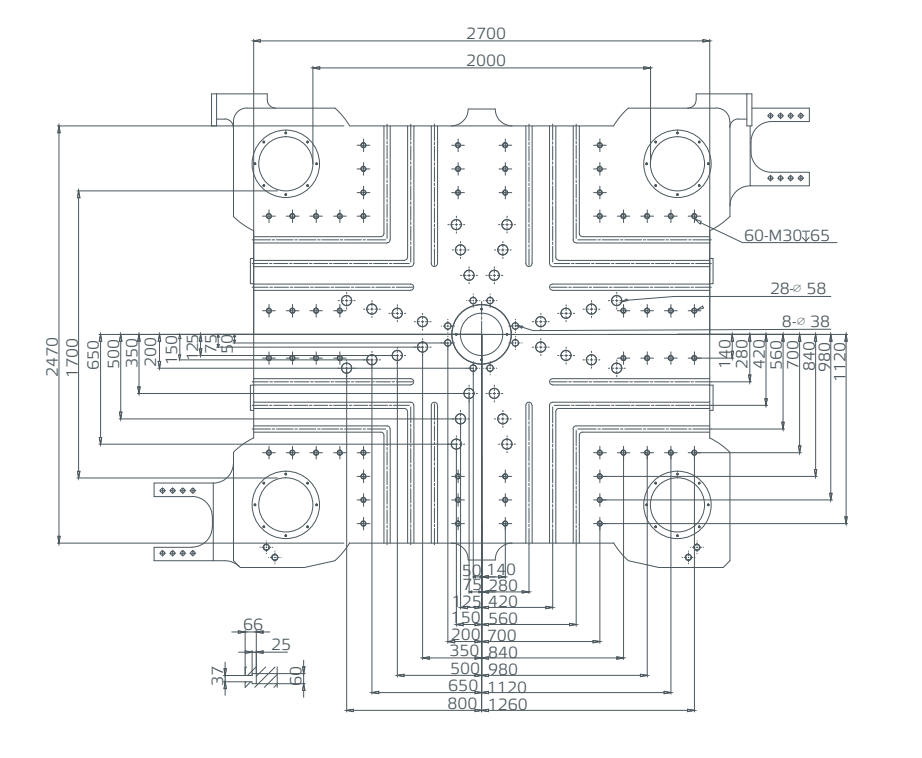
Vista superior



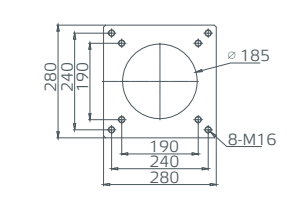
Vista superior del plato fijo para el robot



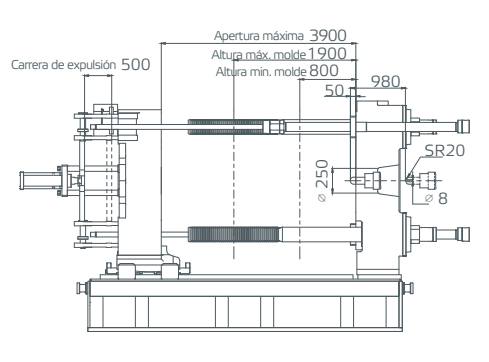
Dimensiones del plato móvil



Dimensiones de la entrada de material



Unidad de cierre



| Unidad de inyección | А | В |
|---------------------|-------|------|
| <i>i</i> 41000 | 16873 | 8607 |
| <i>i</i> 54000 | 17593 | 9327 |

Unidades: mm



Equipamiento

plarnovatic

NEO-HEquipamiento

plarnovatic

Cierre

| Descripción / Unidad de cierre | NEO·H680-NEO·H850 | NEO·H1200-NEO·H2700 |
|--|-------------------|---------------------|
| Platos taladrados | 0 | 0 |
| Platos ranurados T-SLOT | • | • |
| Platos (EUROMAP 2) | 0 | 0 |
| Unidad de cierre de dos platos | • | • |
| Seguridad mecánica | 0 | 0 |
| Seguridad eléctrica | • | • |
| Seguridad hidráulica | • | • |
| Ajuste automático de molde | • | • |
| Apertura, cierre y ajuste de molde Controlado por transductor | • | • |
| Sistema central de lubrificación regulable | • | • |
| Ajuste mecánico para el soporte del plato móvil | • | • |
| Acero de alta dureza en los deslizadores del plato | • | • |
| Puerta automática de seguridad | 0 | • |
| Interfaz de robot EUROMAP 18 | • | • |
| Limitación de posición mecánica para plato móvil | • | • |
| Plato magnético | 0 | 0 |
| Desenroscador Hidráulico / Electrico | 0 | 0 |
| Puertas y coberturas aumentadas | 0 | 0 |
| Dispositivo paro por presión en zona de molde | 0 | • |
| Dos colectores de regulación de agua | • | • |
| Regulador de agua de conexión rápida | • | • |
| 2 sets de noyos hidráulicos | • | • |
| 2 sets de soplado | • | • |
| Regulador de agua en vidrio | 0 | 0 |
| Válvula de autobloqueo para bloqueo | • | • |
| Control de freno de bloqueo | • | • |

• Estándar O Opcional

Inyección

| | | | l |
|---|------------------------------|------------------------------|--------------------------------|
| Description/ Unidad de inyección | <i>i</i> 4800- <i>i</i> 5800 | <i>i</i> 7500 <i>-i</i> 9500 | <i>i</i> 13500- <i>i</i> 54000 |
| Husillo estándar de alta plastificación | • | • | • |
| Husillo especial | 0 | 0 | 0 |
| Boquilla válvulada | 0 | 0 | 0 |
| Doble cilindro en la inyección | • | • | • |
| Doble cilindro en el carro | • | • | • |
| Estructura de inyección guiada de doble etapa | • | • | • |
| Transductor en el carro de inyección | • | • | • |
| Visualización de la velocidad del husillo | • | • | • |
| Válvula de inyección proporcional | • | • | • |
| Plastificación hidráulica | 0 | 0 | 0 |
| Contrapresión programable | • | • | • |
| Monitor de temperatura de entrada de material | 0 | 0 | 0 |
| Cubierta de aislamiento de barril | • | • | • |
| Cuierta para la boquilla | • | • | • |
| Válvula de autobloqueo para avance del carro | • | • | • |
| Unidad de inyección giratoria | • | • | • |
| Plataforma de carga de material | 0 | 0 | • |
| Dispositivo de lubricación central del carro | • | • | • |
| Dispositivo automático de lubricación central del carro | 0 | 0 | 0 |
| Bandas calefactoras de acero inoxidable | • | • | • |
| Banda calefactora de cerámica | • | • | • |
| Plastificación eléctrica | • | • | • |
| Tolva de alimentación móvil | 0 | 0 | 0 |
| Interfaz de inyección asistida por gas | 0 | 0 | 0 |
| Moldeo por espuma | 0 | 0 | 0 |
| Secadora | 0 | 0 | 0 |
| Tolva en acero inoxidable | • | • | • |
| Dispositivo de aislamiento de barril | 0 | 0 | 0 |
| | | | |

■ Estándar ○ Opcional



Equipamiento

plarnovatic

E

NEO-HEquipamiento

plarnovatic

Electricidad / Electronica

| Descripción | NEO·H680-NEO·H850 | NEO·H1200-NEO·H2700 |
|---|-------------------|---------------------|
| Control KEBA | • | • |
| Control KEBA con pantalla táctil de 15 pulgadas | • | • |
| Sistema de memoria y carga de moldes vía USB | • | • |
| Monitorización de todos los movimientos y acciones | • | • |
| Monitorización de la producción | • | • |
| Pantalla de alarmay | • | • |
| Control de presión de inyección a contrapresión | 0 | 0 |
| Pantalla de monitorización de I/O | • | • |
| Alarma tricolor | • | • |
| Protección de sobrecarga del motor | • | • |
| Parada de emergencia en puerta delantera / trasera | • | • |
| 2 x Enchufe de 5 pins de 380V/32A Enchufe de 5 pins de 380V/16A Enchufe de 3 pins de 230V/16A | • | • |
| Sistema servomotor para 480V | 0 | 0 |
| Transformador para sistema de servomotor | 0 | 0 |
| Ahorro de energía con inversor | 0 | 0 |
| Interfaz EUROMAP 13 | • | • |
| Interfaz de robot EUROMAP 12 | • | • |
| Interfaz de robot EUROMAP 67 | 0 | 0 |
| Interfaz de robot EUROMAP 12 y 67 | 0 | 0 |
| Doble protección para la calefacción | • | • |
| Supervisión de relés de seguridad | • | • |
| Relés de estado sólido SSR | • | • |
| Sistema de control centralizado en red | 0 | 0 |
| Interfaz y sistema de regulador de canal caliente | 0 | 0 |
| Instant power consumption monitoring | 0 | 0 |
| Pantalla de consumo de energía instantánea | • | • |
| Enchufe universal 230V/10A | • | • |
| Dispositivo de iluminación de armario eléctrico | • | • |
| Control remoto | 0 | 0 |
| Control ciclo cerrado para apertura/cierre de molde | • | • |
| Control ciclo cerrado para expulsión | 0 | 0 |
| Monitoreo de pedal de seguridad | 0 | • |
| Sistema asistido por gas | 0 | 0 |
| Protección por fase abierta | • | • |
| Detector de fallo en puerta | • | • |

Hidráulico

| Descripción / Unidad de inyección | | <i>i</i> 4800- <i>i</i> 54000 |
|---|--------------------|-------------------------------|
| Sistema servomotor de respuesta rápida | | • |
| Aumento del motor y bomba hidráulica | | • |
| Sistema independiente de refrigeración | | • |
| Sistema independiente de filtración | | • |
| Control de presión de inyección a contrapresión | | 0 |
| Inyección secuencial programable | | 0 |
| Inyección de alta velocidad con acumulador | | 0 |
| Válvula de inyección proporcional | | • |
| Servoválvula de inyección | | 0 |
| Alarma de nivel de aceite | | • |
| Filtro de aceite con autobloqueo | | • |
| Válvula de agua refrigerante | | 0 |
| Descripción / Unidad de cierre | NEO·H680-NEO·H1400 | NEO·H1700-NEO·H2700 |
| 2 sets de noyos hidráulicos | • | |
| 2 sets de noyos hidráulicos en el plato fijo y 2 sets en el plato móvil | 0 | • |
| Válvula de secuencia | 0 | 0 |
| Dispositivo de cierre de molde rápido | • | • |
| Dispositivo de sujeción (abrazadera cilindros) rápida | • | • |
| Expulsión durante la apertura (expulsión sin control proporcional) | • | • |
| Expulsión durante la apertura (expulsión con control proporcional) | • | • |
| Sistema de extracción de columna Pullsure | 0 | 0 |
| | 0 | 0 |
| | 0 | 0 |
| Control de válvula proporcional para apertura y cierre de abrazadera | • | • |
| Control de servoválvula para abrazadera abierta y cerrada | 0 | 0 |
| | | |

Otros

| Descripción | NEO·H680-NEO·H1900 | NEO·H2100-NEO·H2700 |
|---|--------------------|---------------------|
| Colores Tederic | • | • |
| Soportes de nivelación | • | • |
| Placa de acero y pernos de anclaje | 0 | 0 |
| Respuestos, herramientas, abrazaderas de molde, boquilla alargada, manual usuario | • | • |
| Bancada elevada | 0 | 0 |
| Robot | 0 | 0 |
| Imán (para secadora de tolva) | 0 | 0 |
| Refrigerador | 0 | 0 |
| Regulador de temperatura para molde | 0 | 0 |
| Deshumidificador | 0 | 0 |
| Cargador | 0 | 0 |
| Embalaje de madera fumigado | 0 | 0 |
| Con aceite hidráulico de tanque lleno | 0 | 0 |
| Plataforma adicional | 0 | • |

• Estándar O Opcional

■ Estándar ○ Opcional





planovatic

Plasnovatic Ibérica SL

Calle Poniente 25, Local 1 03430 - Onil (ALICANTE)

T. +34 672 66 96 77

T. +34 619 78 33 99

www.plasnovatic.com info@plasnovatic.com

